

# GaAlAs/GaAs 多量子阱激光器结构设计\*

张敬明 徐俊英 肖建伟 徐遵图  
李立康 杨国文 曾 安 钱 毅 陈良惠

(国家集成光电子学联合实验室,中国科学院半导体研究所,北京,100083)

1991年4月16日收到,同年6月15日修改定稿

本文详细地讨论了多量子阱激光器材料的结构设计、量子阱结构对激射波长的影响以及波导限制层铝含量 $x$ 值对光限制因子的影响。用由密度矩阵理论推导的线性光增益公式,计算了光增益。从受激阈值条件得到最佳阱数和最佳腔长。为多量子阱激光器材料结构设计提供了有效的方法。

PACC: 4255P, 6865, 7320

## 一、引言

量子阱激光器具有许多比DH激光器优越的特性。由于量子阱激光器结构复杂,而且结构参数例如量子阱数、阱宽、垒高和宽,以及波导结构参数和激光器腔长等,直接影响激光器激射波长,阈值电流等激光器的重要参数,因此进行器件结构的合理设计,对避免耗费更多的时间和经费、获得合乎需要的激光波长及其它优越的器件性能是十分有益的。

此外,器件的性能与材料生长质量,器件制作工艺有密切联系。因此,除了对量子阱材料进行最佳结构设计外,还需提高材料生长质量和采用好的条形结构工艺。条形结构种类繁多、工艺性较强,本文着重讨论AlGaAs/GaAs材料垂直结方向上的结构设计。

## 二、增益的计算

增益是半导体激光器最重要而基本的物理性质,由密度矩阵理论推导的线性增益为<sup>[1]</sup>

$$g^{(1)}(\omega) = \frac{\omega \mu c}{n_r} \rho_{ee} \sum_{n,n'}^N \int_{E_g + E_{cn} + E_{en'}}^{\infty} \langle R_{ee}^2 \rangle (f_o - f_{o'}) \frac{\Delta E}{(E_{ee} - \hbar\omega)^2 + \Delta E^2} dE_{ee}, \quad (1)$$

其中 $\omega$ 为光子角频率, $\mu$ 为导磁率, $c$ 为光速, $n_r$ 为有源区有效折射率, $\rho_{ee} = m_r^*/\pi\hbar^2 L_z$ 为折合态密度, $m_r^*$ 为折合质量, $\Delta E = \hbar/\tau_{is}$ 为载流子弛豫能量展宽, $R_{ee}$ 为偶极矩矩阵

\* 中国科学院重点资助项目。

元,  $E_{ce}$  为跃迁能量. 其余符号为常规意义. 取电子带内弛豫时间  $\tau_{in} = 0.1\text{ps}$ , 异质结势垒导带偏移值 0.67<sup>[3]</sup>. 考虑载流子感应带隙收缩和带填充效应. 计算 TE 偏振峰值增益与载流子浓度的关系如图 1 所示.

图 1 中, 从坐标原点向曲线作切线, 切点为  $(n_0, G_0)$ . 在该点以上增益斜率明显下降, 认为切点为最佳工作点.

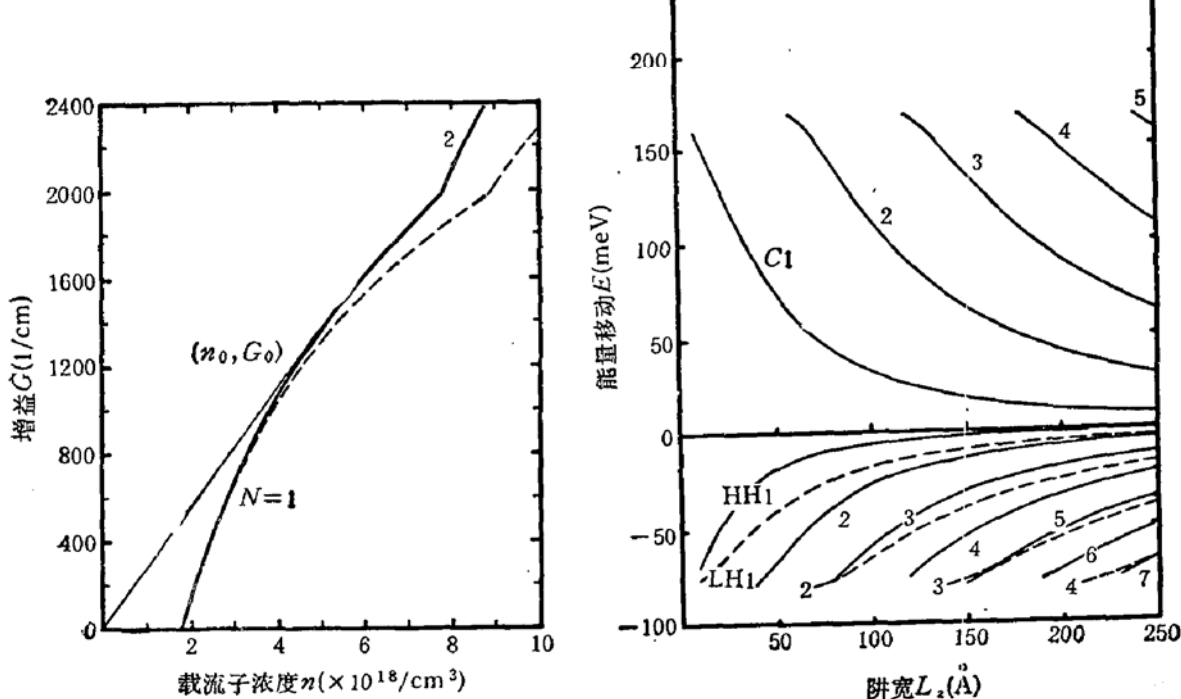


图 1 单量子阱 TE 偏振峰值增益与载流子浓度的关系…表示考虑带填充效应的结果  
 $L_s = 100\text{\AA}$ ,  $\text{Al}_x\text{Ga}_{1-x}\text{As}$  垒  $x = 0.2$

图 2 导带电子和价带重、轻空穴能量偏移带边随阱宽  $L_z$  的变化  $\text{Al}_x\text{Ga}_{1-x}\text{As}$  垒  $x = 0.2$

### 三、量子阱结构对激射波长的影响

量子阱激光器的一个优点是激射波长可以在设计时进行适当地调谐. 这就可以由应用需要在适当范围内调谐激射波长. 量子阱中载流子能量遵守薛定谔方程, 在有限势阱中, 确定载流子能级的本征方程为

$$\sqrt{\frac{m_b^*(V_0 - E_i)}{m_w^* E_i}} = \tan\left(\sqrt{\frac{m_w^* E_i L_z^2}{2\hbar^2}}\right), \quad \text{偶对称} \quad (2)$$

$$\sqrt{\frac{m_b^*(V_0 - E_i)}{m_w^* E_i}} = -\cot\left(\sqrt{\frac{m_w^* E_i L_z^2}{2\hbar^2}}\right), \quad \text{奇对称} \quad (3)$$

其中  $m_b^*$  和  $m_w^*$  分别为垒和阱材料载流子有效质量、 $E_i$  和  $V_0$  为载流子能量本征值和势阱

深度,  $L_s$  为阱宽。采用文献[2]给出的  $\text{Al}_x\text{Ga}_{1-x}\text{As}$  材料载流子有效质量, 对 0.85 和 0.67 导带势垒偏离值计算, 结果表明二种导带势垒偏离值对第一子带电子到重、轻空穴之间的能量差值影响不大, 对子带数大的能级间跃迁的能量值影响大。这里取导带势垒偏离值为 0.67<sup>[3]</sup>。从双异质结构及量子阱深综合考虑, 通常取  $\text{Al}_x\text{Ga}_{1-x}\text{As}$  材料  $x$  值为 0.2, 由式(2,3)计算不同阱宽  $L_s$ , 引起导带电子和价带重、轻空穴能级相对带边的能量移动表示在图 2 中。

考虑增益曲线(图 1)最佳工作点( $n_0, G_0$ ), 载流子浓度引起带隙收缩为  $\Delta E_g = 1.6 \times 10^{-8} n_0^{1/3}$ , 和载流子弛豫展宽使光谱峰值位置向高能移动。由第一子带电子到重空穴跃迁产生激光, 激射光子能量为

$$\hbar\nu = E_g - \Delta E_g + E_{el} + E_{hh} + 2\hbar/\tau_{in}. \quad (4)$$

从图 2 和式(4), 对需要的激射波长可求得量子阱宽  $L_s$  值。应该指出当  $L_s$  不同时, 最佳工作点( $n_0, G_0$ )值不同, 因而又影响  $\Delta E_g$  和激射波长, 但其值较小, 可在材料生长中调整或者进行自洽计算。另外, 我们计算了双量子阱结构的载流子能量与阱垒宽度的关系, 当  $L_s = L_b$  大于 70 Å 时可以近似认为阱间电子无耦合, 多量子阱按单阱计算, 否则应按 Kroning-Penney 模型计算。

#### 四、量子阱数 $M$ 和激光器腔长 $L$

多量子阱激光器最重要的设计参数是阱数, 最佳阱数与阈值电流需要的增益有关。假定 SCH 结构多量子阱, 总有源区厚度 < 1000 Å 时, 光限制因子  $\Gamma \approx M\Gamma_0$ , 其中  $\Gamma_0$  为单阱限制因子。在预定腔长下, 增益满足阈值条件

$$\Gamma G = M\Gamma_0 G = \alpha_i + \frac{1}{2L} \ln \frac{1}{R_1 R_2},$$

因此最佳阱数表示为

$$M_{opt} = \frac{1}{\Gamma_0 G} \left( \alpha_i + \frac{1}{2L} \ln \frac{1}{R_1 R_2} \right). \quad (5)$$

同样, 当阱数确定后, 可以获得最佳腔长值

$$L_{opt} = \frac{\ln \frac{1}{R_1 R_2}}{2(M\Gamma_0 G - \alpha_i)}, \quad (6)$$

其中  $\alpha_i$  为  $3-50 \text{ cm}^{-1}$ , 通常由材料和条形结构决定, 可由实验测量。例如: 量子阱宽 100 Å,  $G_0 = 1100 \text{ cm}^{-1}$ ,  $\Gamma_0 = 0.024$  (波导限制层  $\text{Al}_x\text{Ga}_{1-x}\text{As}$ ,  $x = 0.4$ ),  $\alpha_i = 40 \text{ cm}^{-1}$ ,  $L = 100 \mu\text{m}$ ,  $R_1 = 0.32$ ,  $R_2 = 0.9$ , 由式(5)得到  $M = 3.9$ , 实际上取  $M = 4$ 。如果我们使  $\alpha_i$  降低到  $10 \text{ cm}^{-1}$  以下,  $L = 400 \mu\text{m}$ , 其它不变, 可以得到  $M = 1$ , 即获得单量子阱结构。

假定注入载流子均匀分布在所有的阱中, 多量子阱激光器阈电流密度为

$$J_{th} = M J = \frac{J}{\Gamma_0 G} \left( \alpha_i + \frac{1}{2L} \ln \frac{1}{R_1 R_2} \right), \quad (7)$$

其中  $J$  为单量子阱阈电流密度, 对双分子复合过程并且  $n = p$  时,  $J = qL_s n^2 B_{\infty}$ ,  $B_{\infty} = 9 \times 10^{-11} \text{ cm}^3 \text{s}^{-1}$ , 为复合常数。当条形激光器宽为  $w$  时, 器件阈电流为

$$I_{th} = \frac{WJ}{\Gamma_0 G} \left( \alpha_i L + \frac{1}{2} \ln \frac{1}{R_1 R_2} \right). \quad (8)$$

当  $w$  较小时, 考虑条宽对侧向限制因子及电流扩展效应等因素的影响时,  $I_{th}$  实际不正比于  $w$ 。

对于小的量子阱宽  $L_s$ , 即第二个子带以上的导带电子填充可以忽略时, 由第二节的增益计算可以知道, 增益近似为电流的对数关系。因此在  $(n_0, G_0)$  [即  $(J_0, G_0)$ ] 点附近可近似表示为:

$$\frac{G}{G_0} \approx \ln \frac{J}{J_0} + 1. \quad (9)$$

当增益曲线的工作点由  $G_0$  移至  $G_0 + \frac{\alpha_i}{M\Gamma_0}$  时, 由式(6)和式(9)得到

$$L_{opt} = \frac{1}{2M\Gamma_0 G_0} \ln \frac{1}{R_1 R_2}, \quad (10)$$

和

$$J = J_0 \exp \left( \frac{\alpha_i}{M\Gamma_0 G_0} \right). \quad (11)$$

所以一个近似的阈电流表达式为

$$I_{th} \approx M J_0 w L \exp \left\{ \frac{\alpha_i + \frac{1}{2L} \ln \frac{1}{R_1 R_2}}{M\Gamma_0 G_0} - 1 \right\}. \quad (12)$$

显然如果阈值增益满足在最佳工作点  $(n_0, G_0)$  时, 指数因子为 1, 多量子阱激光器阈电流为单量子阱的  $M$  倍。对于固定的阱数, 由式(10)和(12)得到阈电流与腔长的关系为

$$I_{th} = A L \exp \left( \frac{L_{opt}}{L} \right), \quad (13)$$

其中

$$A = M J_0 w \exp \left( \frac{\alpha_i}{M\Gamma_0 G_0} - 1 \right).$$

同样, 对固定的腔长, 由式(5)和(12)得到阱数与阈电流的关系为

$$I_{th} = B M \exp \left( \frac{M_{opt}}{M} \right), \quad (14)$$

其中  $B = J_0 w L / e$ 。式(13)和(14)可以统一地表达为  $y = x \exp(x_0/x)$  函数, 表示在图 3 中, 说明腔长和阱数为最佳值时可获得最低的阈值电流。

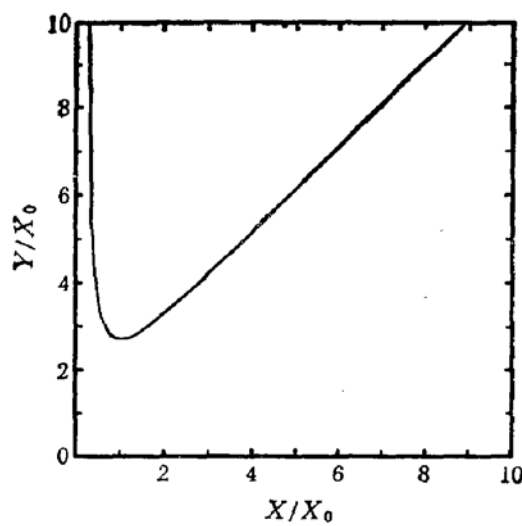


图 3  $Y = X \exp(X_0/X)$  的函数关系  
 $X = M$  或  $L$

## 五、限制因子及波导结构参数

从第四节分析知道限制因子是激光器的一个重要参数,通过结构设计获得大的限制因子,可以充分利用量子阱材料的增益,达到阈值条件,降低阈电流。通常激光器波导为二维波导,总限制因子为  $\Gamma = \Gamma_t \cdot \Gamma_s$ ,  $\Gamma_t$  为侧向限制因子,由条宽和条形结构确定。这里着重讨论横向波导限制因子  $\Gamma_s$ 。量子阱激光器通常采用三种波导结构:突变 SCH, 二次 GRIN-SCH 和线性 GRIN 结构。对于这三种结构,获得最大限制因子的总导引层厚度分别为  $2000\text{ \AA}$ ,  $3000\text{ \AA}$  和  $4000\text{ \AA}$ <sup>[4]</sup>。较小的导引层厚度致使  $\Gamma_s$  急剧下降,较大时  $\Gamma_s$  也缓慢减小,对获得大的  $\Gamma_s$  值不利。

由五层对称平板波导的理论计算突变 SCH 结构的限制因子<sup>[4]</sup>随波导限制层铝含量  $x$  值的变化。当  $c \leq \frac{u}{v} \leq 1$  时,

$$\Gamma = \frac{u + \sin u \cos u}{u + \sin u \cos u \left(1 - \frac{u^2}{t^2}\right) + u \left(\cos^2 u + \frac{u^2}{t'^2} \sin^2 u\right) \left(\frac{b}{a} - 1 + \frac{1}{w}\right)}, \quad (15a)$$

当  $0 \leq \frac{u}{v} \leq c$  时,

$$\Gamma = \frac{u + \sin u \cos u}{u + \sin u \cos u \left(1 + \frac{u^2}{t'^2}\right) + u \left(\cos^2 u - \frac{u^2}{t'^2} \sin^2 u\right) \left(\frac{b}{a} - 1 + \frac{1}{w}\right)}, \quad (15b)$$

其中  $u, v, w, t, t'$  为归一化波导参数。

$$c^2 = \frac{n_1^2 - n_2^2}{n_1^2 - n_3^2} \approx \frac{n_1 - n_2}{n_1 - n_3}, \quad n_1 > n_2 > n_3,$$

$$u^2 = a^2(n_1^2 K^2 - \beta^2); \quad v^2 = a^2 K^2(n_1^2 - n_3^2);$$

$$w^2 = a^2(\beta^2 - n_3^2 K^2); \quad t^2 = a^2(n_1^2 K^2 - \beta^2);$$

$$t'^2 = a^2(\beta^2 - n_2^2 K^2).$$

对多量子阱突变 SCH 结构,有源层平均折射率为

$$n_r = \frac{M L_s \bar{n}_s + (M+1) L_b \bar{n}_b}{M L_s + (M+1) L_b}. \quad (16)$$

$\text{Al}_x\text{Ga}_{1-x}\text{As}$  材料折射率为

$$n(x) = 3.59 - 0.710x + 0.091x^2. \quad (17)$$

计算结果,考虑量子阱在有源区的占有因子  $M L_s / [M L_s + (M+1) L_b]$ ,最后结果表示在图 4 中。由图 4 中看出,提高波导限制层  $x$  值和采取多量子阱将增加  $\Gamma_s$ 。为避免消失场进入衬底材料,引起波导中光损耗增加,由计算表明限制层厚度应该大

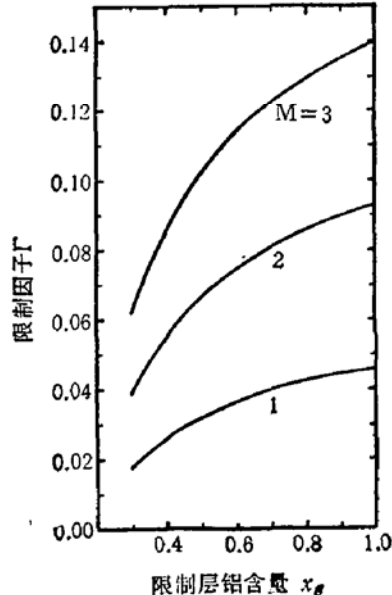


图 4 突变 SCH 结构多量子阱激光器横向光限制因子随波导限制层铝  $x$  值的变化  
 $2L_t = 2000\text{ \AA}$ ,  $x_b = 0.2$ ,  $L_s = L_b = 100\text{ \AA}$

于  $1\mu\text{m}$ , 通常取  $1.2\text{--}1.5\mu\text{m}$ 。

## 六、结语

在现有 MBE 生长条件下, 从上述设计原理确定的多量子阱激光器结构, 已获得腔长为  $300\mu\text{m}$  的宽接触  $J_{th} = 1000\text{A/cm}^2$  的 AlGaAs/GaAs 多量子阱材料。对于阱宽  $L_e = 100\text{\AA}$ , 4 个阱的材料用改进的质子轰击条形器件工艺, 已制备出激射波长  $854\text{nm}$ , 典型阈电流值为  $25\text{mA}(20^\circ\text{C})$ , 最低值达  $18\text{mA}$ , 线性输出功率典型值大于  $10\text{mW}$ .  $T_0 = 430\text{K}$ . 温度升高到  $152^\circ\text{C}$  下  $L-I$  特性的微分量子效率无明显下降, 激光器基横模工作,  $3\text{mW}$  恒功率老化寿命大于 16000 小时。

## 参 考 文 献

- [1] 张敬明等, 半导体学报, 13, 67 (1992).
- [2] R. Nagarajan, et al., IEEE J. Quantum Electron., QE-25(6), 1161(1989).
- [3] H. Okumura, et al., Appl. Phys. Lett., 46(4), 377(1985).
- [4] W. A. Paul, et al., IEEE J. Quantum Electron., QE-21(12), 1958(1985).
- [5] M. J. Adams, An Introduction to Optical Waveguides, John Wiley and Sons., P. 85(1981).
- [6] H. C. Casey and M. B. Panish, Heterostructure Laser, Part A: Fundamental Principles, New York, Academic, 1978.

## Structure Design for GaAlAs/GaAs Multiquantum Well Lasers

Zhang Jingming, Xu Junying, Xiao Jianwei, Xu Zuntu,  
 Li Likang, Yang Guowen, Zeng An,  
 Qian Yi and Chen Lianghui  
*(Institute of Semiconductors, Academia Sinica, Beijing)*

### Abstract

This paper detailed the structure design for multiquantum-well lasers, the influence of quantum-well structure on excited wavelength and the dependence of optical limited factor on aluminium mole fraction  $x$  in waveguide cladding layer. The optical gain was calculated by linear optical gain expression developed with density-matrix theory. According to the threshold condition, the optimal cavity length and the optimal well number were obtained. The optimal structure design for the multiquantum-well laser was provided by this method.

PACC: 4255P, 6865, 7320